

TRABALHO 2 - AMPLIFICADOR OTA MILLER

Tabela 1: Correntes de polarização e níveis de inversão dos transistores

	$I_D(\mu A)$	I_f
$M_{1,2}$	9,22461	5,221
$M_{3,4}$	9,22461	18,630
M_5	18,4492	52,208
M_6	66,0956	8,343
M_7	66,0956	93,519

Tabela 2: Parâmetros de desempenho do OTA Miller

	Calculado	Simulado
$ A_d(0) $ (dB)	<60,915	52,538
GBW (Hz)	52065946	11937766
PM (Graus)	83,241	64,995
CMR-	0,163	-0,599
CMR+	0,592	0,444
$V_{OUT(MIN)}$	-0,269	-0,579
$V_{OUT(MAX)}$	0,443	0,591
SR ($V/\mu s$)	9,225	(-) 9,680
		(+) 9,604
$ CMRR(0) $ (dB)		68,705
$ PSRR-(0) $ (dB)		48,472
$ PSRR+(0) $ (dB)		71,262

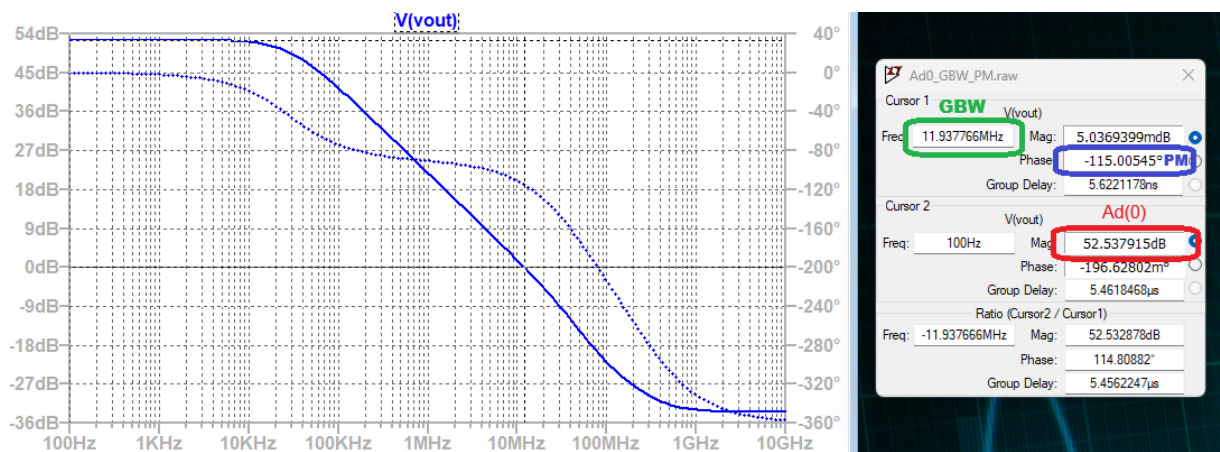


Figura 1: Diagrama de Bode para magnitude e fase do ganho de tensão diferencial.

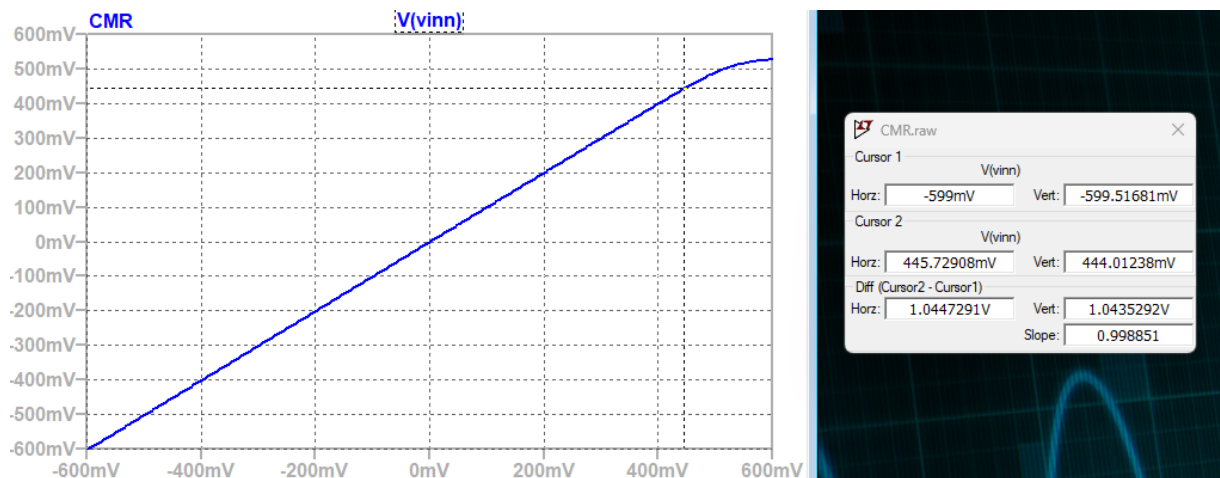


Figura 2: Diagrama de simulação DC para análise de CMR.

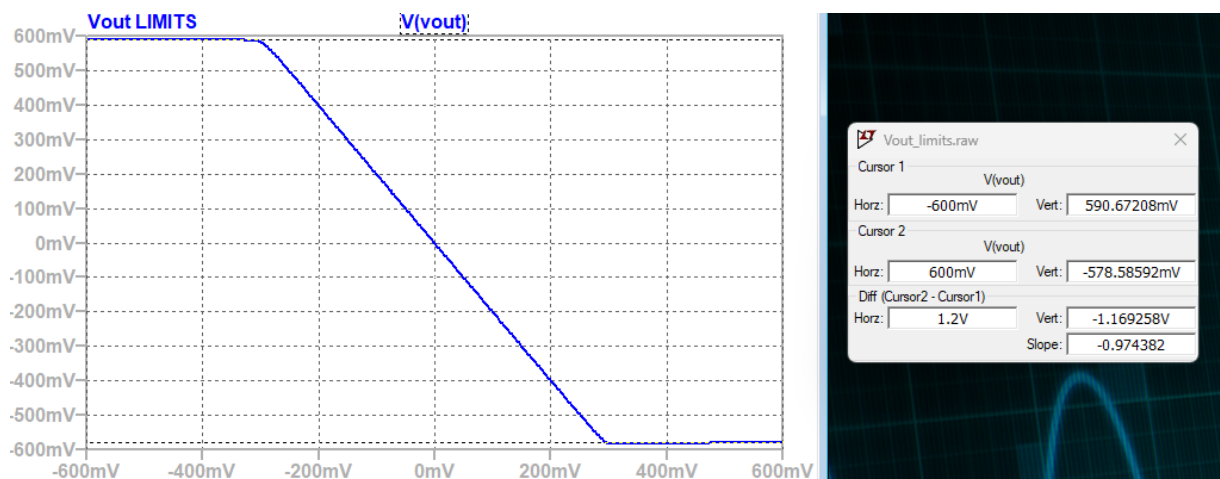


Figura 3: Diagrama de simulação DC para análise de excursão de saída.

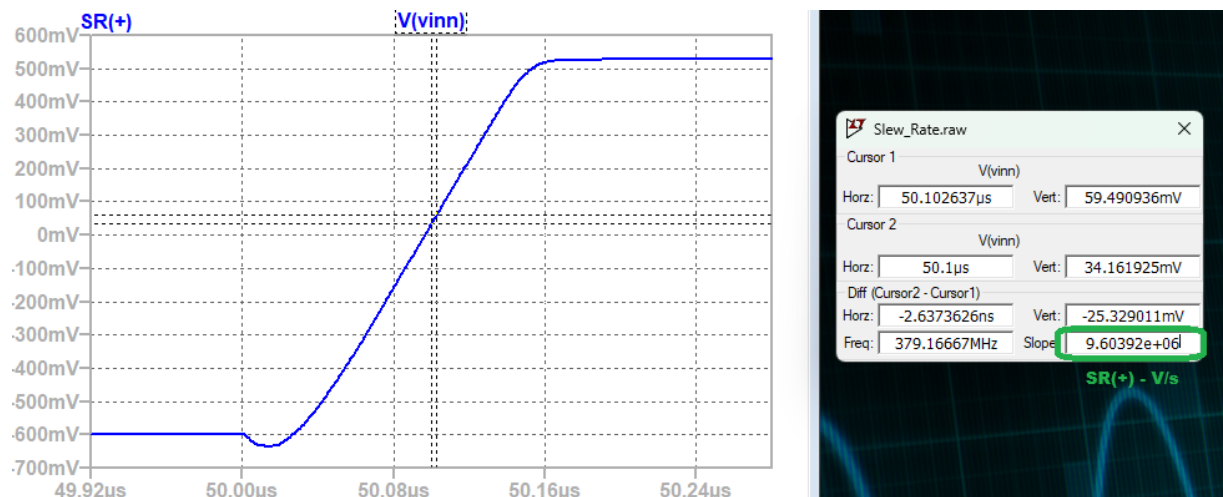


Figura 4: Diagrama para análise do *slew rate* (borda de subida).

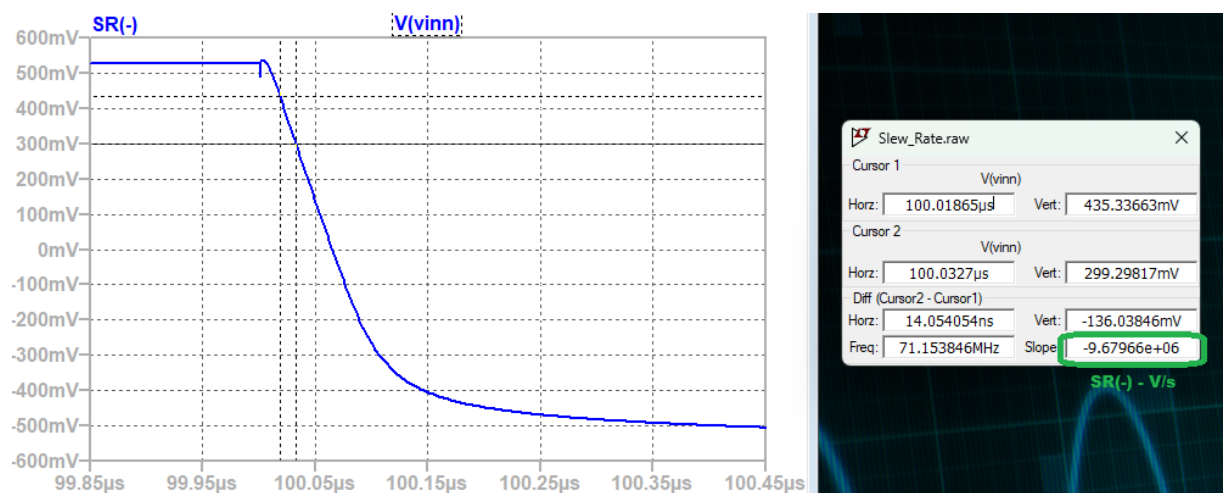


Figura 5: Diagrama para análise do *slew rate* (borda de descida).

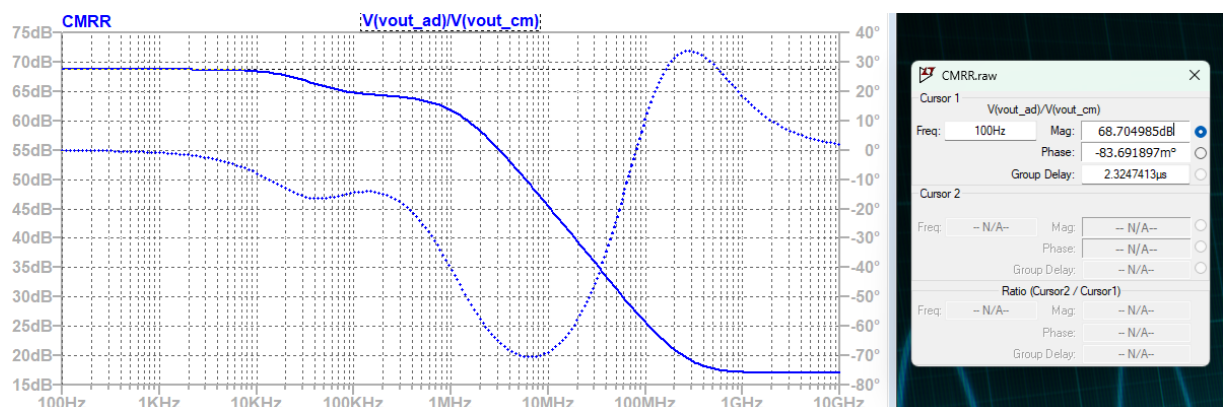


Figura 6: Diagrama de magnitude do CMRR.

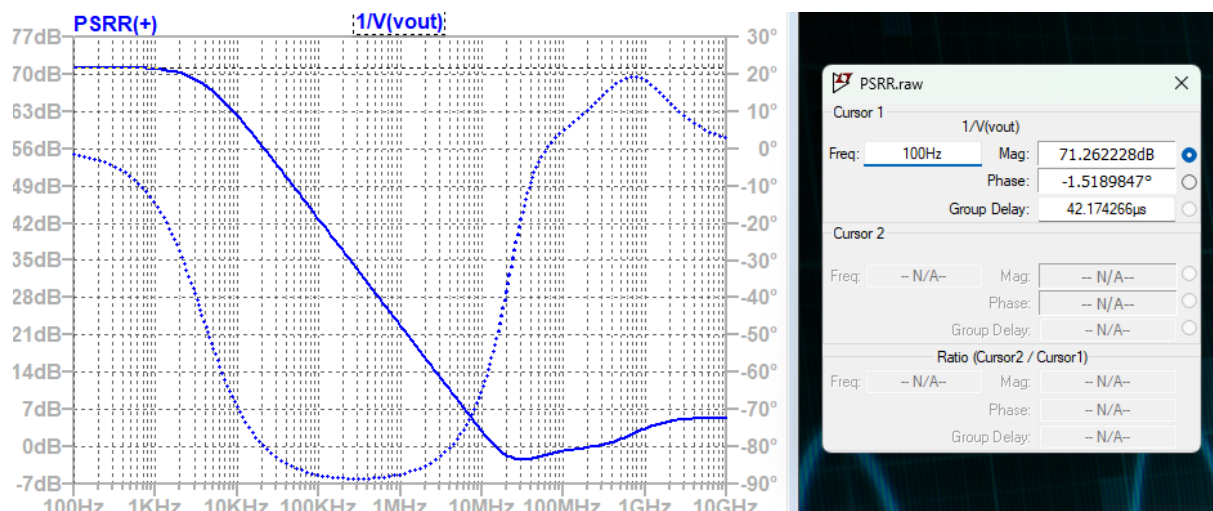


Figura 7: Diagrama de magnitude do PSRR(+).

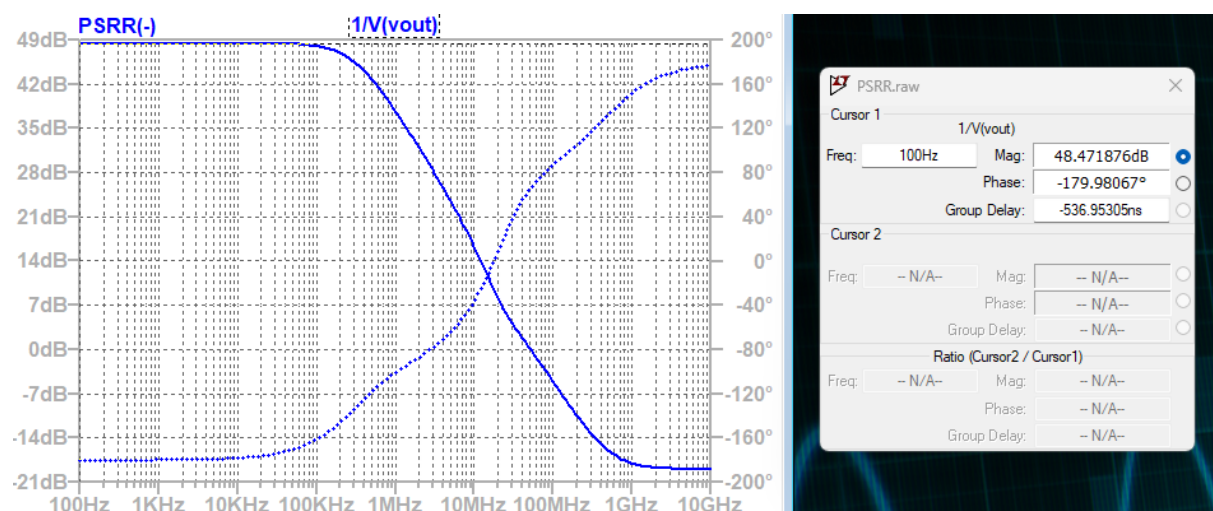


Figura 8: Diagrama de magnitude do PSRR(-).

Trabalho 2 - Memorial de Cálculo

Disciplina: PPGEE0017 - Projeto de Circuitos Integrados - PPGEEC/UFBA

Aluno: André Paiva Conrado Rodrigues (N=2)

1 - Escopo do trabalho

Especificações do circuito

Extração de características de amplificador OTA Miller com os seguintes parâmetros:

Parâmetro	Valor	Unidade
$W_{1,2}$	10	μm
$L_{1,2}$	2	μm
$W_{3,4}$	20	μm
$L_{3,4}$	2	μm
W_5	1	μm
L_5	1	μm
W_6	80	μm
L_6	0,5	μm
W_7	40	μm
L_7	20	μm
C_L	0,2	pF
C_M	2,0	pF
V_{GG5}	-0,1	V
V_{DD}	0,6	V
V_{SS}	-0,6	V

Parâmetros da Tecnologia

Símbolo	Definição	Unidade	Canal N	Canal P
I_{SQ}	Corrente de norm. (quadrado)	nA	353,38	49,514
n	Fator de rampa	-	1,3790	1,2952
ϕ_t	Potencial Termodinâmico	mV	26	26
V_{T0}	Tensão de limiar no equilíbrio	V	0,3618	-0,3554
U_{CRIT}	Campo Elétrico Crítico	V/m	1,712 · 10 ⁶	6,960 · 10 ⁶
D_{SUB}	Parâmetro de modelo DIBL	-	4,057 · 10 ⁻⁶	3,781 · 10 ⁻³
η_0	Parâmetro de modelo DIBL	-	2,750 · 10 ⁻⁶	1,151 · 10 ⁻³
I_{t0}	Parâmetro de modelo DIBL	m	3,1116 · 10 ⁻⁸	3,1116 · 10 ⁻⁸
λ	Parâmetro de modelo CLM	-	1,9784	0,8847
DL	Encurtamento do canal	nm	10,4	14,8
DW	Estreitamento do canal	nm	0,24	0

```
In [1]: # Importação de bibliotecas
import numpy as np
```

```
In [2]: # Especificações do amplificador OTA Miller
W_12 = 10e-6; L_12 = 2e-6
W_34 = 20e-6; L_34 = 2e-6
W_5 = 1e-6; L_5 = 1e-6
W_6 = 80e-6; L_6 = 0.5e-6
W_7 = 40e-6; L_7 = 20e-6
C_L = 0.2e-12
C_M = 2e-12
VGG5 = -0.1
VDD = 0.6
VSS = -0.6
```

```
In [3]: # Canal dos transistores
pol_M12 = 'n'
pol_M34 = 'p'
pol_M5 = 'n'
pol_M6 = 'p'
pol_M7 = 'n'
```

```
In [4]: # Parâmetros da tecnologia
Isq_p = 49.514e-9;      Isq_n = 353.38e-9
N_p = 1.2952;           N_n = 1.3790
VT0_p = -0.3554;        VT0_n = 0.3618
Phi_t = 26e-3
Ucrit_p = 6.96e6;        Ucrit_n = 1.712e6
Dsub_p = 3.781e-3;       Dsub_n = 4.057e-6
Eta0_p = 1.151e-3;       Eta0_n = 2.75e-6
It0 = 3.1116e-8
lambda_p = 0.8847;       lambda_n = 1.9784
DL_p = 14.8e-9;          DL_n = 10.4e-9
DW_p = 0;                DW_n = 0.24e-9
```

2 - Medições em simulação

```
In [5]: # Correntes de dreno medidas em simulação
ID_M12 = 9.22461e-06 # Medido com sinal positivo
ID_M34 = 9.22461e-06 # Medido com sinal negativo
ID_M5 = 1.84492e-05 # Medido com sinal positivo
ID_M6 = 6.60956e-05 # Medido com sinal negativo
ID_M7 = 6.60956e-05 # Medido com sinal positivo

# Tensão de offset
Voffset = -259.17e-6
```

3 - Cálculo dos níveis de inversão

```
In [6]: # Função para cálculo da corrente de normalização
def is_calc(W, L, mos_pol):
    if(mos_pol == 'p' or mos_pol == 'P'):
        return Isq_p*W/L
    elif(mos_pol == 'n' or mos_pol == 'N'):
        return Isq_n*W/L
    else:
        return -np.inf

# Função para cálculo de nível de inversão (sat.)
def if_calc(Id, W, L, mos_pol):
    if(mos_pol == 'p' or mos_pol == 'P' or mos_pol == 'n' or mos_pol == 'N'):
        return Id/is_calc(W, L, mos_pol)
    else:
        return -np.inf
```

```
In [7]: If_M12 = if_calc(ID_M12, W_12, L_12, pol_M12)
If_M34 = if_calc(ID_M34, W_34, L_34, pol_M34)
If_M5 = if_calc(ID_M5, W_5, L_5, pol_M5)
If_M6 = if_calc(ID_M6, W_6, L_6, pol_M6)
If_M7 = if_calc(ID_M7, W_7, L_7, pol_M7)

print(f"I_F\nM1,2: {If_M12:.3f} \nM3,4: {If_M34:.3f} \nM5: {If_M5:.3f}")
print(f"M6: {If_M6:.3f} \nM7: {If_M7:.3f}")
```

```
I_F
M1,2: 5.221
M3,4: 18.630
M5: 52.208
M6: 8.343
M7: 93.519
```

	$I_D (\mu A)$	I_f
$M_{1,2}$	9,22461	5,221
$M_{3,4}$	9,22461	18,630
M_5	18,4492	52,208
M_6	66,0956	8,343
M_7	66,0956	93,519

4 - Cálculo dos parâmetros de desempenho

```
In [8]: # Cálculo da tensão de early mínima
def early(L, mos_pol):
    if(mos_pol == 'p' or mos_pol == 'P'):
        L_eff = L - (2*DL_p)
        theta_dibl = np.exp(-Dsub_p*L/(2*It0)) + (2*np.exp(-Dsub_p*L/It0))
        sig = theta_dibl * Eta0_p
        Va_min = ((L_eff*Ucrit_p) + Phi_t)/((sig/N_p) + lambda_p)
    elif(mos_pol == 'n' or mos_pol == 'N'):
        L_eff = L - (2*DL_n)
        theta_dibl = np.exp(-Dsub_n*L/(2*It0)) + (2*np.exp(-Dsub_n*L/It0))
        sig = theta_dibl * Eta0_n
        Va_min = ((L_eff*Ucrit_n) + Phi_t)/((sig/N_n) + lambda_n)
    else:
        Va_min = -np.inf
    return Va_min
```

```
In [9]: # Cálculo da transcondutância de dreno
def g_md(Id, L, mos_pol):
    if(mos_pol == 'p' or mos_pol == 'P' or mos_pol == 'n' or mos_pol == 'N'):
        return Id/early(L, mos_pol)
    else:
        return -np.inf
```

```
In [10]: # Cálculo da transcondutância de porta
def g_mg(Id, W, L, mos_pol):
    i_s = is_calc(W, L, mos_pol)
    i_f = if_calc(Id, W, L, mos_pol)
    if(mos_pol == 'p' or mos_pol == 'P'):
        return ((2*i_s)/(N_p*Phi_t))*(np.sqrt(1+i_f) - 1)
    elif(mos_pol == 'n' or mos_pol == 'N'):
        return ((2*i_s)/(N_n*Phi_t))*(np.sqrt(1+i_f) - 1)
    else:
        return -np.inf
```

```
In [11]: # Função para determinar f(i_f)
def f_if(i_f):
    return np.sqrt(i_f + 1) - 2 + np.log(np.sqrt(i_f + 1) - 1)
```

```
In [12]: # Transcondutâncias úteis
gmg_M2 = g_mg(ID_M12, W_12, L_12, pol_M12)
gmg_M6 = g_mg(ID_M6, W_6, L_6, pol_M6)
gmd_M2 = g_md(ID_M12, L_12, pol_M12)
gmd_M4 = g_md(ID_M34, L_34, pol_M34)
gmd_M6 = g_md(ID_M6, L_6, pol_M6)
gmd_M7 = g_md(ID_M7, L_7, pol_M7)

print(f"G_MG \nM2: {gmg_M2:.3e} \nM6: {gmg_M6:.3e} \n")
print(f"G_MD \nM2: {gmd_M2:.3e} \nM4: {gmd_M4:.3e} \nM6: {gmd_M6:.3e} \nM7: {gmd_M7:.3e} \n")
```


G_MG
M2: 1.473e-04
M6: 9.677e-04

G_MD
M2: 5.345e-06
M4: 5.954e-07
M6: 1.777e-05
M7: 3.820e-06

In [13]:

```
# Ganho diferencial em baixas frequências
Ad0 = (gmg_M2*gmg_M6)/((gmd_M2 + gmd_M4)*(gmd_M6 + gmd_M7))
Ad0_dB = 20*np.log10(Ad0)

# Produto Ganho-Largura de Banda
GBW = gmg_M2/(np.sqrt(2)*C_M) # Hz

# Margem de fase
omg_p2 = gmg_M6/C_L; omg_z = gmg_M6/C_M
PM = ((np.pi/2) - np.arctan(GBW/omg_p2) - np.arctan(GBW/omg_z))*180/np.pi

# Slew Rate
SR = min((ID_M5/C_M), (ID_M7/C_L))*1e-6 # V/us

# Faixa de modo comum
CMR_p = N_n*(VDD - (N_p*Phi_t*f_if(If_M34)) + VT0_p + (Phi_t*f_if(If_M12))) - VSS - (
CMR_n = N_n*Phi_t*(f_if(If_M12) + np.sqrt(If_M5+1) + 3) + VSS + VT0_n

# Limites da tensão de saída
Vout_min = Phi_t*(np.sqrt(1 + If_M7)+3) + VSS
Vout_max = VDD - Phi_t*(np.sqrt(1 + If_M6)+3)

print(f" Ad0 = {Ad0_dB:.3f} dB \n GBW = {(GBW):.0f} Hz")
print(f" PM = {PM:.3f}° \n SR = {SR:.3f} V/us")
print(f"CMR+ = {CMR_p:.3f} \nCMR- = {CMR_n:.3f}")
print(f"{Vout_min:.3f} <= Vout <= {Vout_max:.3f}")
```

Ad0 = 60.915 dB
GBW = 52065946 Hz
PM = 83.241°
SR = 9.225 V/us
CMR+ = 0.592
CMR- = 0.163
-0.269 <= Vout <= 0.443